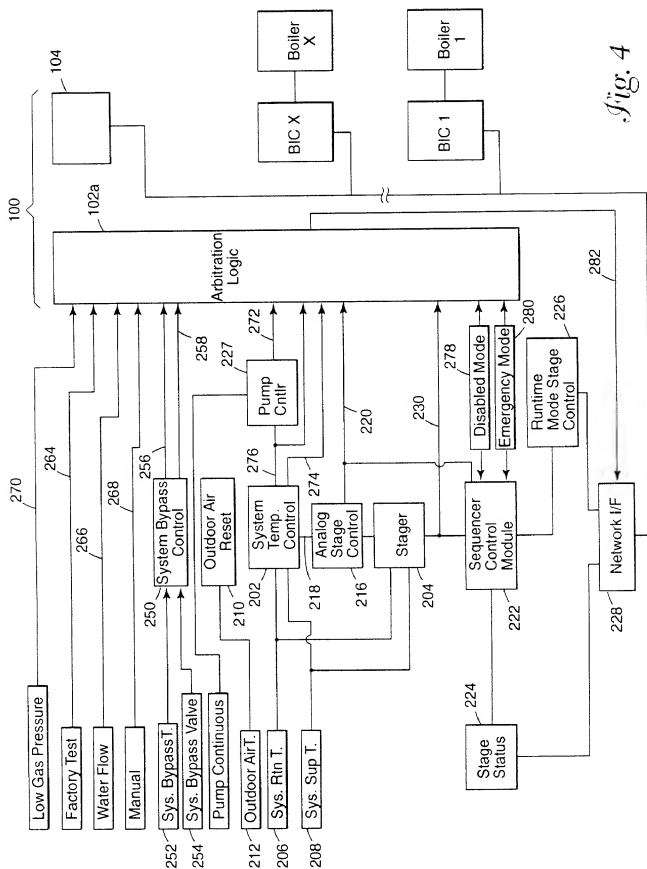


Fig. 3



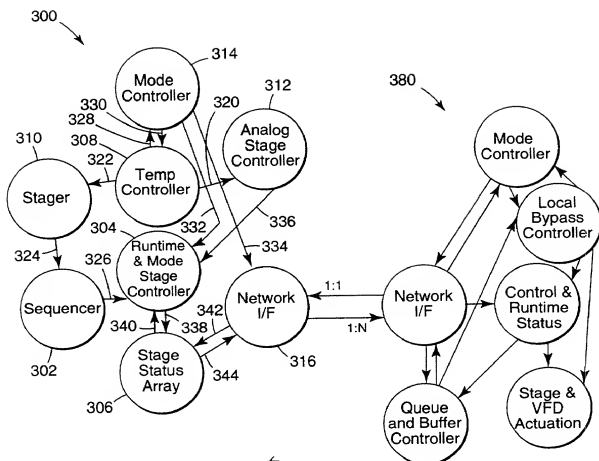


Fig. 5

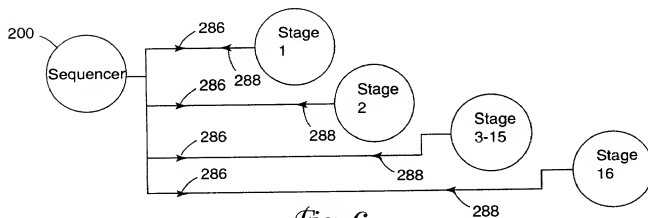


Fig. 6

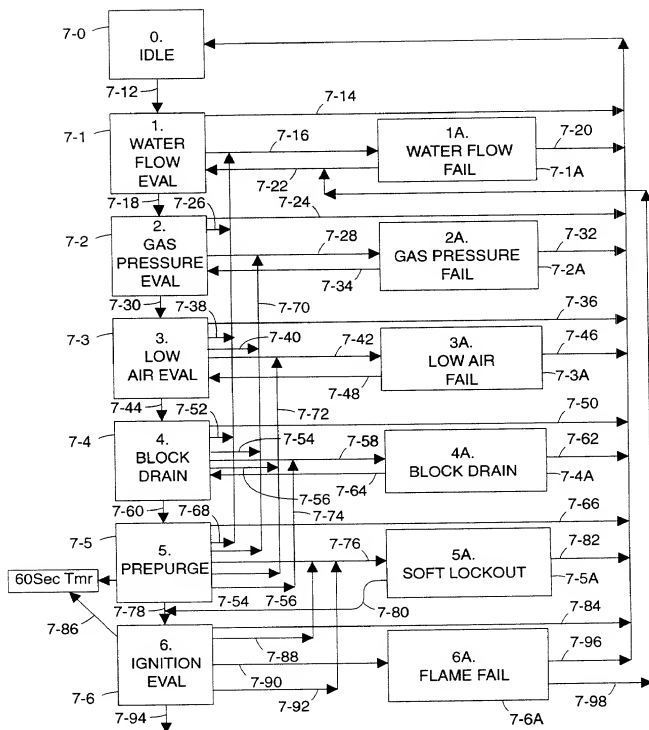


Fig. 7a

Fig. 7b

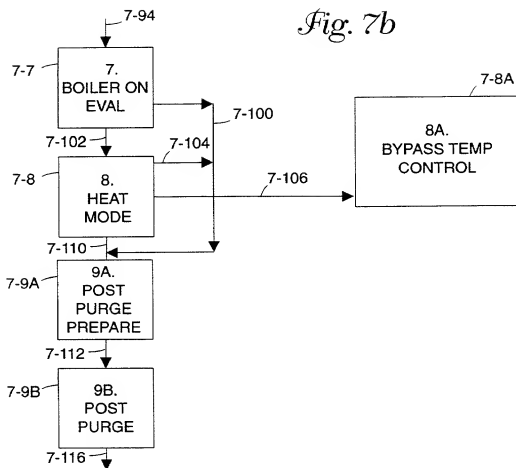
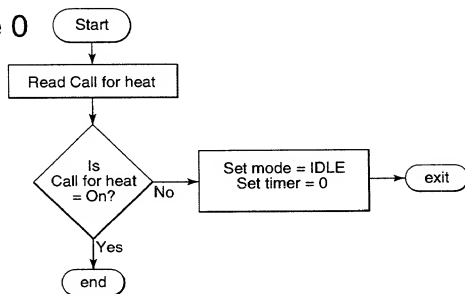


Fig. 8

Mode 0



Mode 1

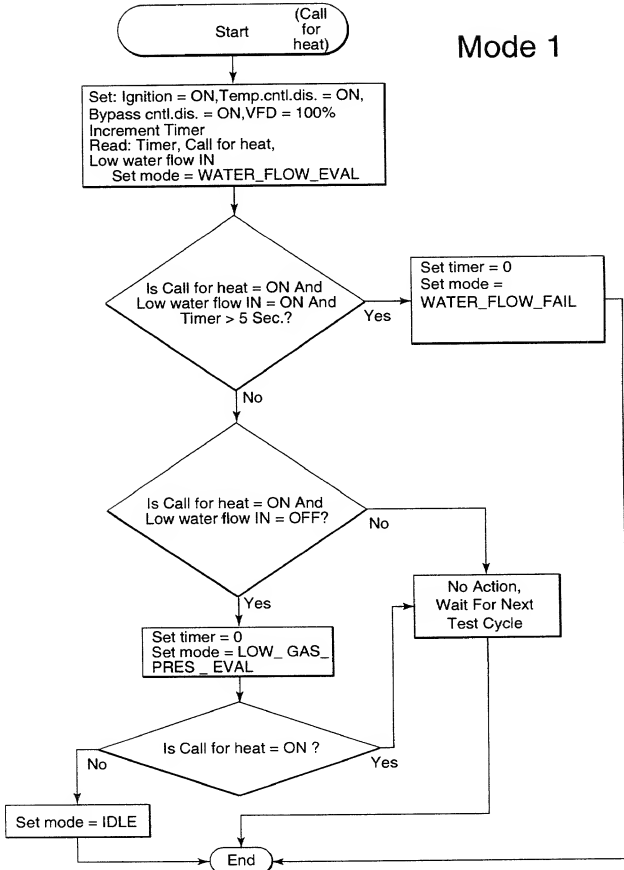


Fig. 9a

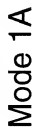


Fig. 9b

T1

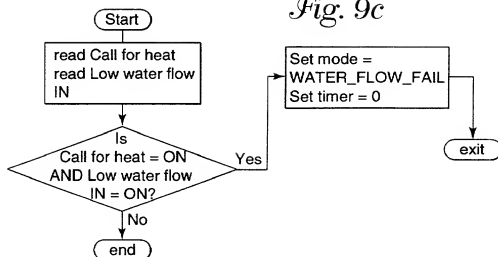
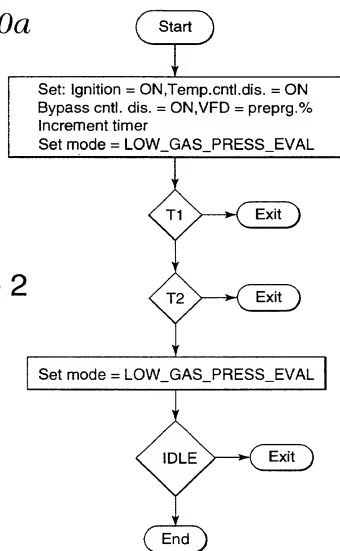


Fig. 9c

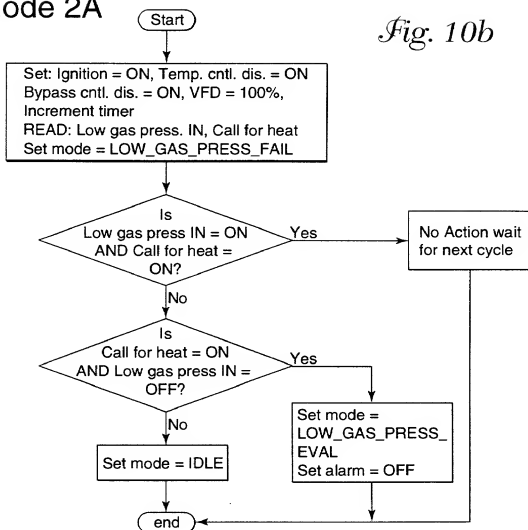
Fig. 10a



Mode 2

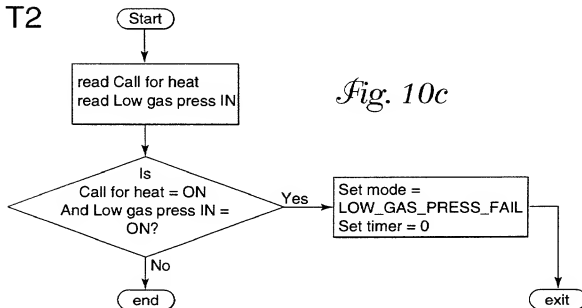
Mode 2A

Fig. 10b

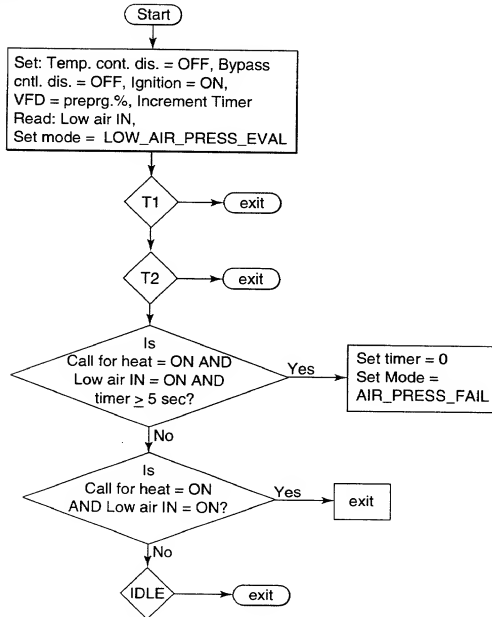


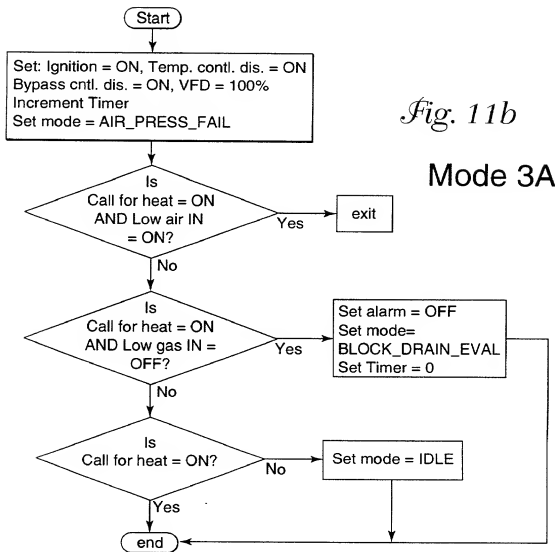
T2

Fig. 10c

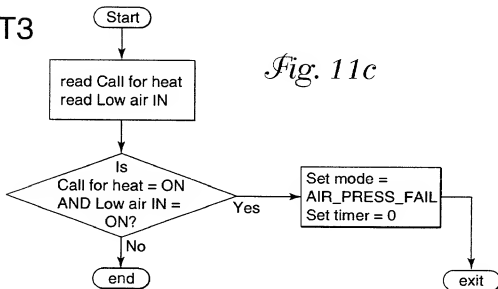


Mode 3

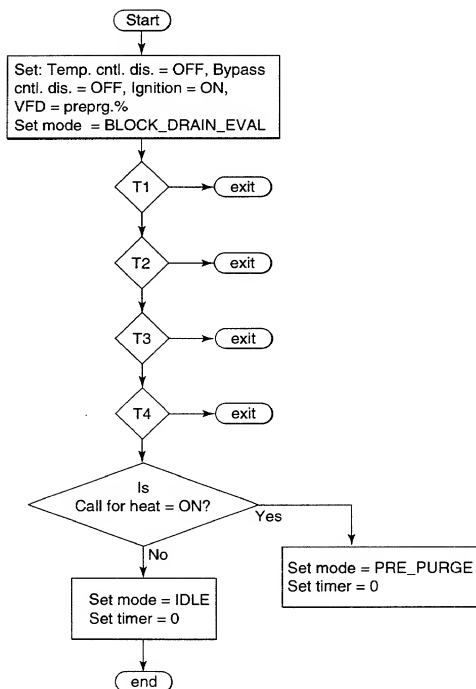
*Fig. 11a*



T3



Mode 4

*Fig. 12a*

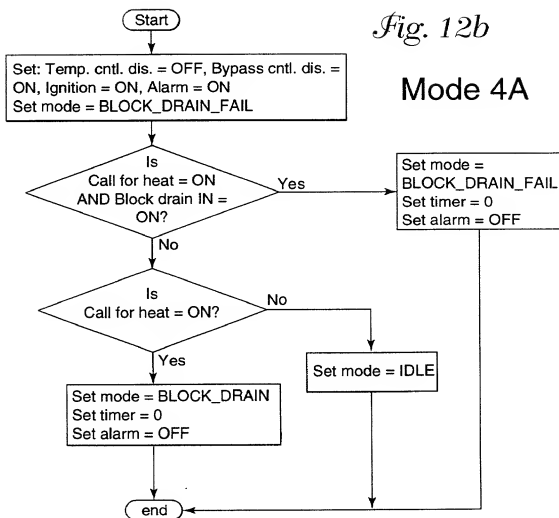
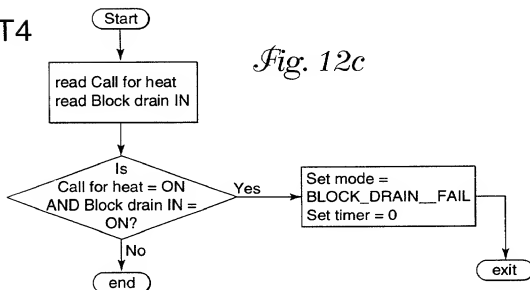
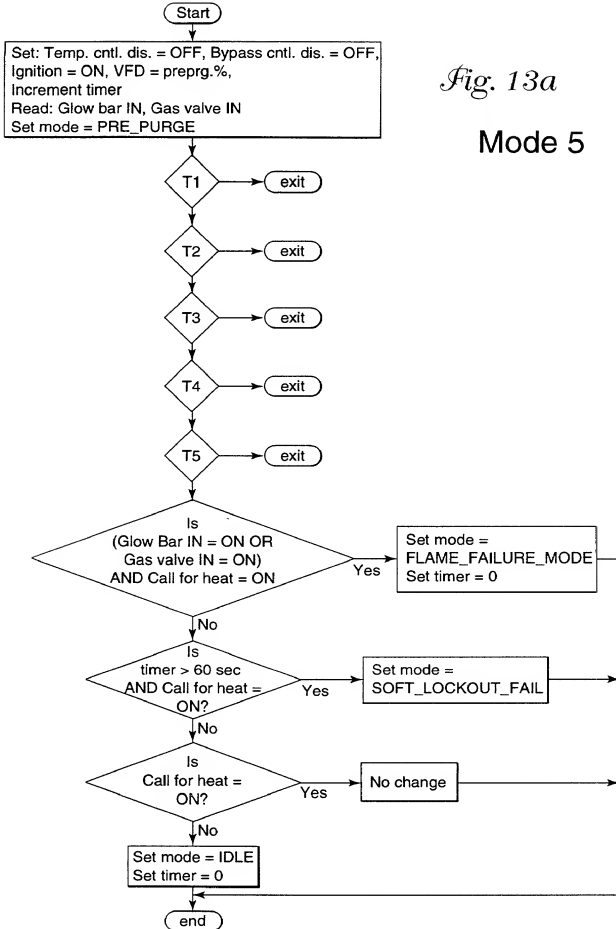
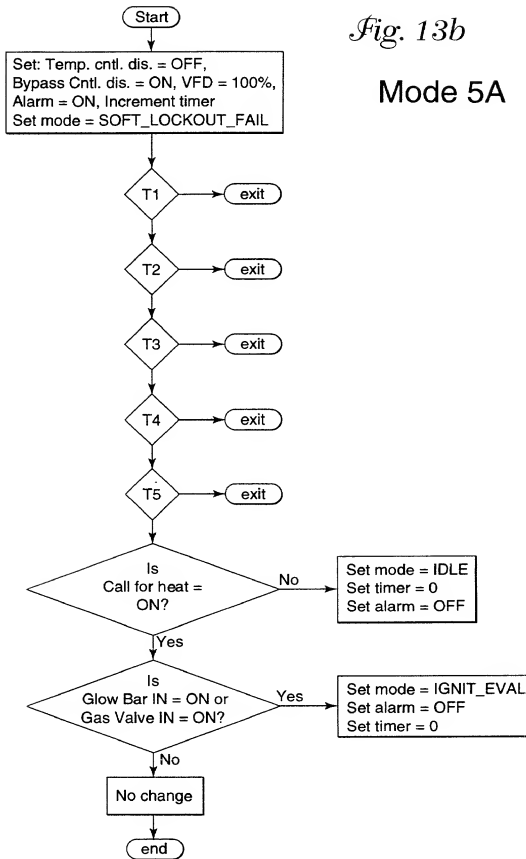
*Fig. 12b***Mode 4A****T4***Fig. 12c*

Fig. 13a

Mode 5

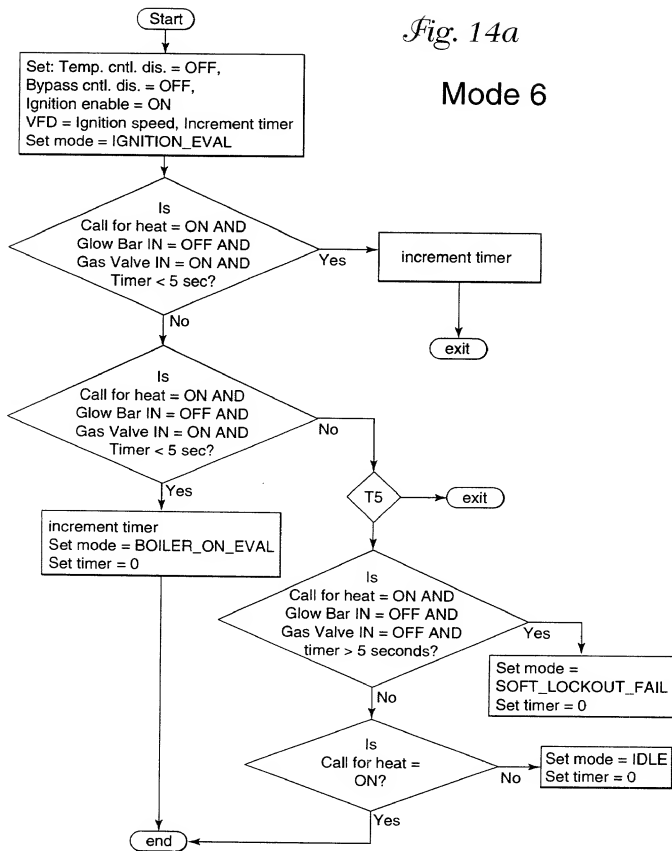


*Fig. 13b***Mode 5A**

00736032-124500

Fig. 14a

Mode 6



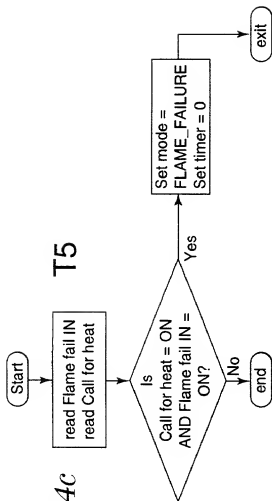
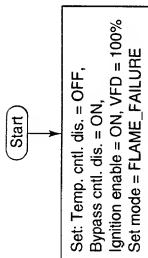


Fig. 14c



Mode 6A

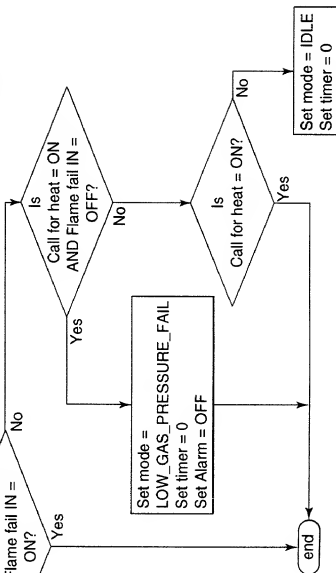
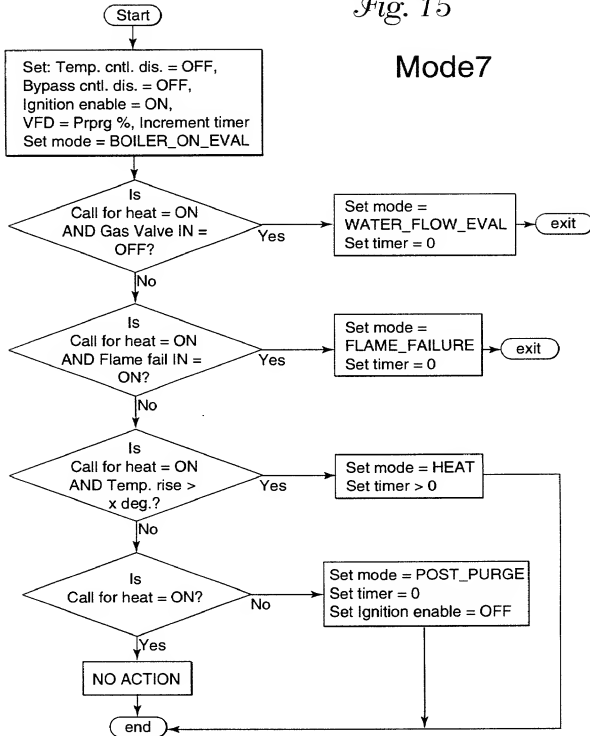


Fig. 14b

Fig. 15

Mode7



00730000.101000

Mode 8

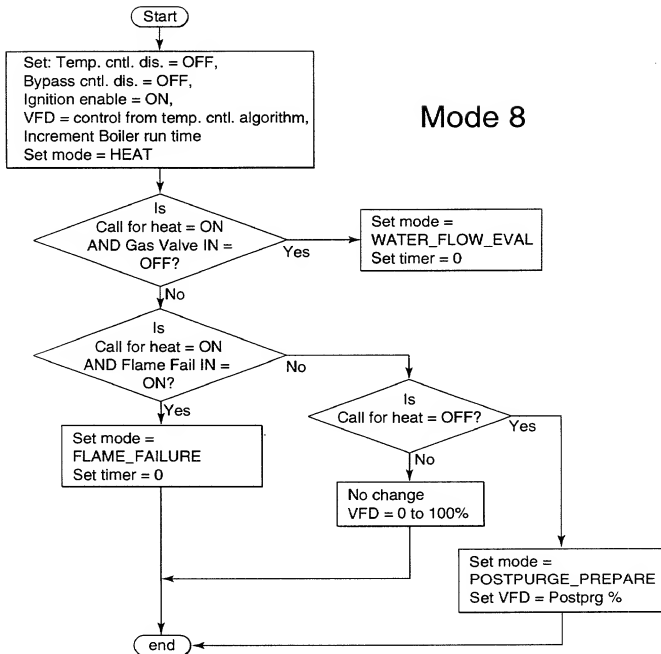
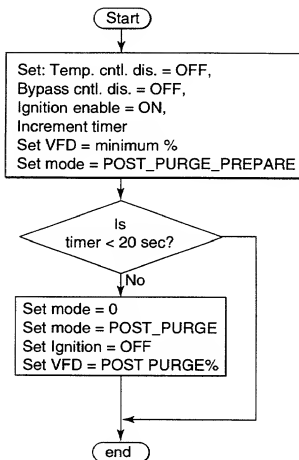
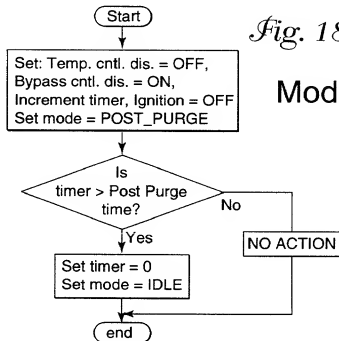


Fig. 16

*Fig. 17***Mode 9A***Fig. 18***Mode 9B**

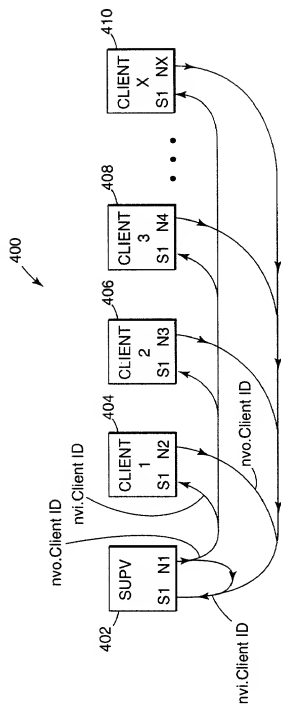
*Fig. 19*

Fig. 20a

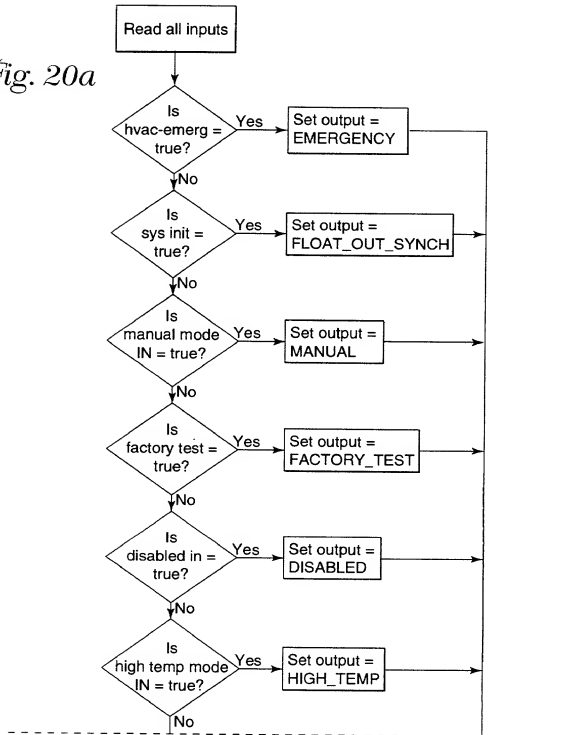


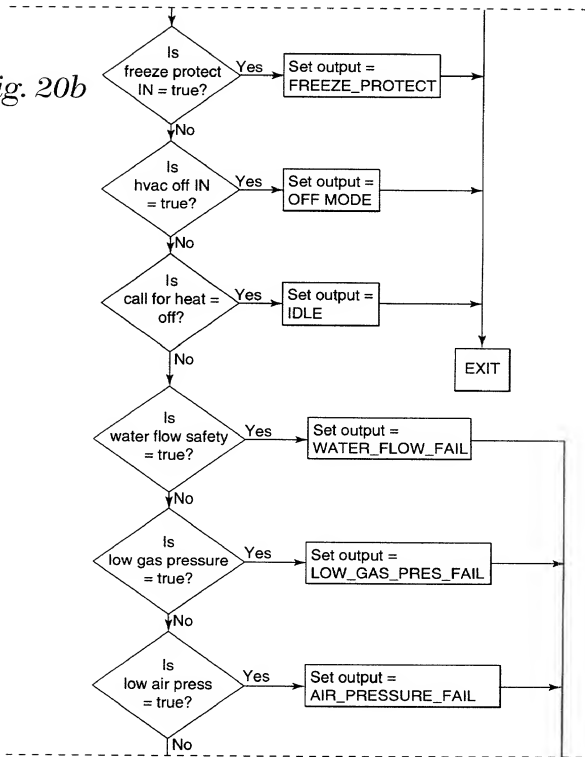
Fig. 20b

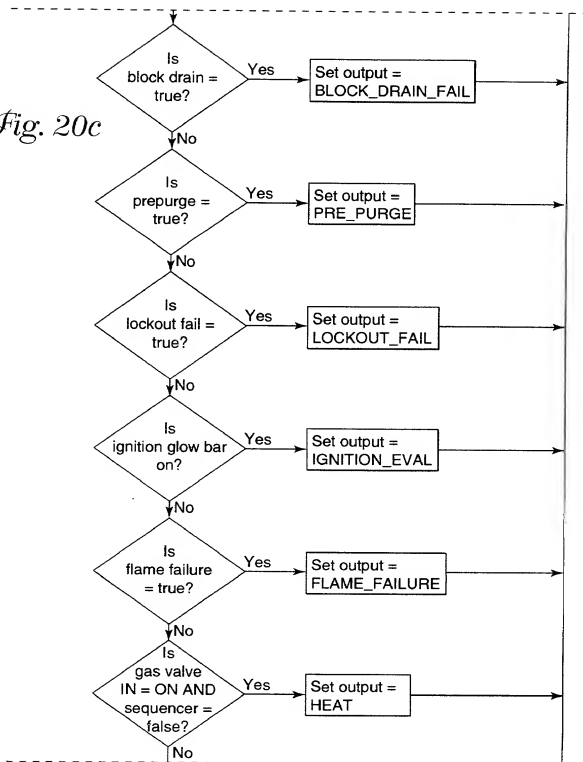
Fig. 20c

Fig. 20d

